

طراحی یک پرورب سوزنی برای اندازه‌گیری مشخصه‌های جریان‌های گاز - مایع

امیررضا زراتی  
استادیار  
دانشکده مهندسی عمران، دانشگاه صنعتی امیرکبیر

امیررضا شاهوردی  
مرتبی  
واحد تفرش، دانشگاه صنعتی امیرکبیر

## دانشجوی کارشناسی ارشد دانشکده مهندسی برق، دانشگاه صنعتی امیرکبیر

جگہ

در این مقاله طراحی یک بروب سوزنی برای اندازه گیری مشخصه های جریان در جریان های گاز - مایع که مایع آن دارای هدایت الکتریکی به مراتب بیشتر از قسمت گاز است، تشریح شده است. طراحی و کالibrاسیون دو نوع از این بروب برای جریان آب و هوا با سرعت زیاد انجام گردیده است. نوع اول یک بروب تک سوزنی است که غلظت هوا را اندازه گیرد و نوع دوم، بروب دو سوزنی است که علاوه بر غلظت هوا، سرعت جتاب ها و طیف آنها را نیز به دست می آورد. بروب ساخته شده نسبت به بروب های مشابه قبلی دارای سرعت برد اشت اطلاعات بیشتر تا  $100 \text{ KHz}$  و زمان نامحدود نمونه برداری است. آزمایش های کالibrاسیون نشان دادند که بروب سوزنی از دقت خوبی پرخودار می باشد.

## *Design of a Needle Probe for Measurement of Local Parameters in Gas-Liquid Flows*

A.Samavati  
Graduate Student  
Department of Electrical Engineering ,  
Amirkabir University of Technology

### Abstract

In this paper, design of a needle probe for measurement of local parameters in gas-liquid flows, where electrical conductivity of local liquid phase is much higher than the gas is explained. Two types of this probe was designed and calibrated for high velocity air-water flows. The first is a one-needle probe for measuring air condentration. The second type which is a double needle probe can measure bubble velocity and spectrum as well as air concentration. Comparing with similar probes, the probes designed here have the advantage of higher sampling frequency (up to 100 KHz) and unlimited time of data collection. Calibration tests showed that the accuracy of the needle probe is good.

## ۱- مقدمه

مطالعه بر روی مخلوط‌های گاز - مایع در رشت‌های مختلف مهندسی از جمله مهندسی عمران، مکانیک و شیمی انجام می‌گیرد. به طور مثال می‌توان مطالعه بر روی جت‌های پرتابی از روده‌ها و یا باکت سرپریزها در مهندسی عمران (شاخه هیدرولیک) را نام برد. جت پرتابی مقدار زیادی هوا از اطراف خود گرفته و پس از هواکیری یک جریان مخلوط آب و هوا محاسب می‌شود. به علت ماهیت پیچیده اینکونه جریان‌ها، مطالعه روی آنها اغلب با انجام آزمایش توان است. انجام این آزمایش‌ها هم به منظور کنترل طوح‌های اجرایی و هم برای تحقیقات پایه به منظور بررسی رفتار جریان لازم می‌باشد. انجام آزمایش در جریان‌های گاز - مایع مثل آب و هوا و اندازه‌گیری مشخصه‌های جریان مثل سرعت و یا درصد گاز موجود در هر نقطه (غلظت) نیاز به وسایل مخصوص به خود دارد و وسایل معمول در اندازه‌گیری سرعت مثل لوله پیتو و یا میکرومولینه را نمی‌توان در مخلوط‌های گاز - مایع با غلظت زیاد گاز به کار برد. روش‌های پیشرفت‌تر نیز مثل لیزر داپلر (Laser Doppler) و فیلم داغ (Hot Film) در عمل دارای محدودیت بوده و به تجهیزات پیچیده نیاز داشته و از دقت کافی نیز برخوردار نیستند.

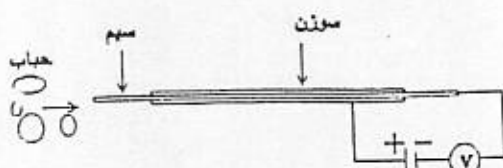
استفاده از پروب سوزنی برای اندازه‌گیری در جریان‌های دو فاز بسیار موقتیت‌آمیز بوده است.<sup>[۴,۵]</sup> این پروب در عین سادگی دارای دقت کافی نیز می‌باشد. اولین بار نیل و بنکوف (Neal and Benkoff)<sup>[۶]</sup> این پروب را در مخلوط جیوه و حباب‌های نیتروژن به کار بردند و محققان دیگری از این پروب برای مطالعه مخلوط بخار و آب<sup>[۷]</sup> و آب و هوا<sup>[۸,۹]</sup> استفاده کردند. برای اطلاعات بیشتر از تاریخچه این پروب به مرجع ۱ مراجعه کنید.

باتوجهه به کاربرد مهم این پروب در مطالعه مخلوط‌های گاز - مایع در رشت‌های مختلف مهندسی و به خصوص در مهندسی عمران (هیدرولیک) برای مطالعه مخلوط آب و هوا در سازه‌های هیدرولیک، این پروب توسعه داده شده و به نحوی طراحی گردید که عملکرد آن بهبود یافته، محدودیت‌های استفاده از آن برطرف شده و دقت آن نیز بالاتر رود. طرز کار و طراحی این پروب سوزنی توسعه یافته در این مقاله آمده است.

## ۲- نحوه کار پروب سوزنی

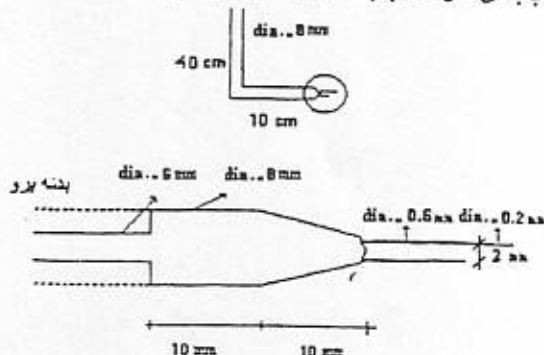
این پروب براساس اختلاف در هدایت الکتریکی بین مایع و گاز کار می‌کند. مثلاً در مورد آب و هوا، هدایت الکتریکی آب هزار بار از هوا بیشتر است. این پروب از دو هادی الکتریسیته تشکیل شده است که از هم ایزووله شده و به فاصله کمی از هم قرار گرفته‌اند. شکل‌های مختلفی برای ساخت این پروب پیشنهاد شده که در اینجا از یک سوزن فولادی که از داخل آن سیم نازکی عبور داده شده استفاده شده است (شکل ۱). سیم دارای پوشش عایق بوده و بنابراین از سوزن کاملاً ایزووله می‌باشد. سیم از سر سوزن کمی بیرون آمده و نوک سیم چیده شده است. به این ترتیب نوک سیم حکم یک سر مدار را دارد و سوزن نیز یک هادی دیگر پروب محسوب می‌شود. اگر سیم و سوزن به دو سر یک پیل الکتریکی وصل شده و ولت متري در مدار قرار گیرد، وقتی پروب مثلاً در آب گذاشته شود از آنجا که آب هادی الکتریسیته است، ارتباط را بین سیم و سوزن برقرار نموده عقربه ولت متري حرکت می‌کند و ولتاژ را نشان می‌دهد. اگر حبابی به سر سیم برخورد کند، سر سیم داخل حباب فرورفت و اتصال الکتریکی آن با سوزن قطع می‌شود (زیرا هدایت الکتریکی هوا به مرتب کمتر از آب است). در نتیجه مدار قطع شده و ولت متري صفر را نشان می‌دهد. بلافاصله پس از عبور حباب، مدار دوباره وصل می‌شود. به این ترتیب برخورد حباب‌های موجود در جریان به سر پروب باعث قطع و وصل مدار و تغییرات ولتاژ بین صفر و یک مقدار مشخص می‌شود. اگر توان این تغییرات را ثبت کرد، می‌توان از تفسیر آنها به تغییر قسمت مایع به گاز و بالعکس در نقطه مورد نظر پی برد.

اصل کار و طراحی این پروب سوزنی برای مخلوط آب و هوا در شرایط خاص در این مقاله تشریح شده است. بدینهی است می‌توان مطالعه کفته شده را در شرایط دیگر (با هندسه مقاومت و حتی در پروتوتیپ) و در مورد مخلوط‌های دیگری از جریان‌های گاز - مایع به شرطی که قسمت مایع دارای هدایت الکتریکی به مرتب بیشتر از قسمت گاز باشد، مورد استفاده قرار داد.



شکل (۱) طرز کار پروب سوزنی

سر آن (نوک سیم) تعیز شود. محل اتصال سیم به سوزن و سوزن به بدن باید با جسب مناسب کاملاً آب بندی شود تا آب به داخل بدن پرور نفوذ نکند.



شکل (۳) ساختمان پرور دو سوزنه

#### ۴- پرور تک سوزنی برای اندازه‌گیری غلظت هوا

دو نوع پرور در این مطالعات طراحی و ساخته شده است. یک پرور تک سوزنی برای اندازه‌گیری غلظت هوا که در این بخش توضیح داده می‌شود و یک پرور دو سوزنی که علاوه بر غلظت هوا، سرعت و طیف حباب‌ها را نیز اندازه می‌گیرد که در بخش بعدی به توضیح آن خواهیم پرداخت.

##### ۴-۱- اندازه‌گیری غلظت هوا

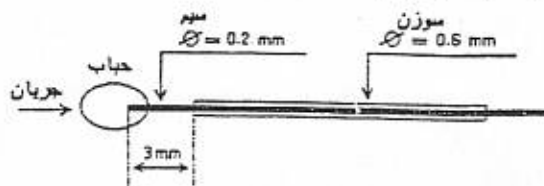
اگر حجم کوچکی از مخلوط آب و هوا را در نظر بگیریم، غلظت هوا به صورت حجم هوا به حجم مخلوط آب و هوا تعریف می‌گردد. از آنجا که در زمان اندازه‌گیری از هنگامی که یک حباب به سر سیم برخورد می‌کند تا زمانی که حباب عبور کند مدار قطع می‌شود، نسبت کل زمانی که مدار قطع می‌باشد به زمان اندازه‌گیری نشان دهنده نسبت هوا موجود در آن نقطه و یا به عبارتی غلظت هوا می‌باشد [۴، ۱۰]. مدار پرور سوزنی با ثبت کل زمان قطع مدار و با توجه به زمان نموده برداری، غلظت هوا را در نقطه مورد نظر حساب کرده به کامپیوتر می‌فرستد.

##### ۴-۲- مدار الکتریکی پرور سوزنی و سیستم برداشت اطلاعات

همچنان که ذکر شد در اثر عبور حباب‌های هوا ولتاژ مدار بین یک مقدار حداقل (پرور در آب) و صفر (پرور در داخل حباب) تغییر می‌کند. در عمل به دلیل وجود کشش سطحی و انحراف و یا تقسیم شدن یک حباب به

#### ۳- طراحی بدن پرور سوزنی

ابعاد پرور سوزنی بستگی به سرعت جریان مورد بررسی، اندازه حباب‌های داخل جریان و سیستم برداشت اطلاعات دارد. پرور مورد نظر در مطالعات حاضر بیشتر به منظور آزمایش و تحقیق روی مدل سرریزهای سد، جت‌ها و حوضجه‌های آرامش طراحی شده است. سرعت جریان در این موارد حداقل  $5 \text{ m/s}$  می‌باشد. از نظر ابعاد حباب‌های موجود، از آنجا که حجم هوای داخل حباب‌ها با توان سوم قطر آنها کم می‌شود، حباب‌های خیلی کوچک هوای کمی حمل کرده و اهمیت چندانی ندارند. در اینجا فرض شده است که پرور باید بتواند حباب‌های بزرگتر از یک میلیمتر را که به آن برخورد می‌کنند، تشخیص دهد. از طرفی فرض شده است برای اینکه سیم نوک پرور به داخل حباب نفوذ کند باید حداقل دارای قطری برابر یک پنجم قطر حباب باشد. با توجه به مطالب بالا سیم مسی پوشش دار لاکی به قطر  $2/0$  میلیمتر برای ساخت پرور مورد استفاده قرار گرفت (شکل ۲).



شکل (۲) ابعاد پرور سوزنی

سوزن دستگاه باید آنقدر نازک باشد تا جریان را منحرف نکند. و در عین حال بتوان سیم را از داخل آن عبور داد. بدین منظور سوزنی با قطر  $2/0$  میلیمتر که دارای طولی مناسب بود، برای این کار انتخاب شد. سیم لاکی به اندازه  $2$  تا  $5$  میلیمتر از داخل سوزن بیرون گذاشته شد (شکل ۲). این فاصله به اندازه‌ای کم بود که استحکام سیم برقرار باشد و به اندازه‌ای نیز زیاد بود تا سوزن اختلالی در مسیر حباب‌های کوچک ایجاد نکند. حباب‌های کوچکتر از  $2$  میلیمتر، قبل از رسیدن به سوزن از محل نوک سیم کاملاً عبور می‌کردند و حباب‌های بزرگتر از  $2$  میلیمتر دارای قطری بیشتر از  $5$  برابر قطر سوزن بودند و طبق فرض قبلي سوزن نیز می‌توانست به داخل آنها نفوذ کند. در نهایت سوزن به بدن اصلی پرور متصل شد که از جنس برنج و کاملاً آثربودینامیک بود (شکل ۳ و عکس ۱). باید توجه داشت پس از مدتی استفاده از پرور لازم است

### ب - زمان نمونه برداری چقدر باشد؟

در مطالعات حاضر حداقل سرعت جریان  $10 \text{ m/s}$  و کوچکترین اندازه حباب  $1 \text{ میلیمتر}$  فرض شده است. در نتیجه اگر کوچکترین حباب با حداقل سرعت به سر بروب برخورد کند، موجی به طول  $1 / 0 \text{ میلی ثانی}$  بوجود می آورد. برای تشخیص چنین موجی لازم است حداقل سه نقطه از آن برداشت شود و این به معنی فرکانس حداقل  $20 \text{ KHz}$  می باشد. برای به دست آوردن جواب قابل اطمینان لازم است زمان نمونه برداری نیز به اندازه کافی طولانی باشد. یکی از مشکلات عدمهای که محققان در کارکرد با این پروپ داشته اند، ذخیره حجم زیادی از اطلاعات در هر نمونه برداری و محدودیت حافظه کامپیوتور (RAM) بوده، که باعث اعمال محدودیت روی زمان برداشت اطلاعات و فرکانس نمونه برداری بوده است. در طراحی مدار پروپ در مطالعات حاضر یک پردازشگر در مدار الکترونیک این اشکال را برطرف می نمود. پردازشگر مدار همزمان با برداشت اطلاعات کل زمان قطع مدار و نمونه برداری را ثبت کرده، نسبت این دو را که همان غلظت هوا در نقطه مورد آزمایش بود محاسبه و به کامپیوتور می فرستاد. این نحوه عمل هرگونه محدودیت در زمان نمونه برداری و فرکانس را بر طوف می نمود [۱]. پردازشگر مدار الکترونیکی به نحوی برنامه ریزی شد که با فرکانس  $100 \text{ KHz}$  در زمانی که استفاده کننده مشخص نماید، نمونه برداری کند. بدین ترتیب این دستگاه از دقیقی به مرتب بیشتر از پروپ های مشابه برخوردار می باشد.

آن طرفی با استفاده از مدار موجود جواب ها بلافصله پس از نمونه برداری (on line) روی صفحه کامپیوتور ظاهر می شد، در صورتی که در پروپ های قبلی ساخته شده، اطلاعات ذخیره شده روی کامپیوتور پس از نمونه برداری پردازش شده و سپس جواب به دست می آمد.

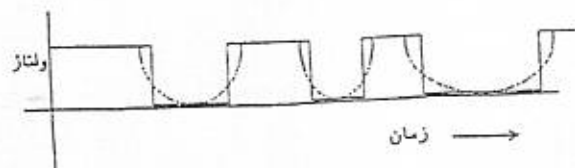
## ۵- پروپ دو سوزنی

این پروپ علاوه بر اندازه کیفری غلظت قادر است با پردازش اطلاعات برداشت شده، سرعت حباب ها و اندازه آنها را نیز به دست آورد. نحوه کار این پروپ به شرح زیر است:

### ۵-۱- نحوه اندازه کیفری سرعت

حباب های عبوری از نقطه اندازه کیفری باعث

جانب های کوچکتر در برخورد به سر بروب تغییرات ولتاژ بین صفر و یک مقدار حداقل ناکهانی نبوده و شکل تغییرات ولتاژ مشابه خط چین در شکل ۴ می باشد. برای بازگرداندن شکل تغییرات ولتاژ به یک موج مربع (square wave) می باشد از یک کلید اشمتیت موج (Schmidt trigger) استفاده شود. کلید اشمتیت موج گرفته شده از بروب را کنترل می کند و هرگاه مقدار ولتاژ از یک مقدار از پیش تنظیم شده کمتر شد، مدار را قطع کرده و ولتاژ را صفر می نماید که این نشانگر عبور یک حباب است و در غیر این صورت حداقل ولتاژ در مدار برقرار خواهد بود.



شکل (۴) تغییر ولتاژ مخابه شده از بروب در مخلوط آب و هوا

در اثر عبور حباب ها از اطراف دستگاه نیز نوسانات در ولتاژ مدار بوجود می آید. برای حذف این نوسانات نیز از ولتاژ تنظیمی کلید اشمتیت استفاده می شود. به این ترتیب که هر افت ولتاژی به معنی عبور یک حباب نیست و فقط اگر افت ولتاژ از حد مشخصی (ولتاژ تنظیمی) بیشتر شود، مدار قطع شده عبور یک حباب مخابه می شود. هرینچه و دیویس (Herringe and Davis) [۲] در شرایط مشابه با شرایط مطالعات حاضر به این نتیجه رسیدند که اگر ولتاژ تنظیمی دستگاه بین  $70$  تا  $20$  درصد ولتاژ حداقل باشد، در جواب دستگاه تأثیر چندانی نمی گذارد. ولی بهترین جواب در ولتاژ تنظیمی  $28$  درصد ولتاژ حداقل به دست می آید. براساس این یافته یک کلید اشمتیت در مدار الکترونیکی با ولتاژ  $28$  درصد ولتاژ حداقل طراحی گردید.

موج آنالوگ فرستاده شده از طرف پروپ برای پردازش وارد مدار الکترونیک می شود. این مدار الکترونیک به نحوی طراحی شده است که به کمک یک زمان سنج (Timer) کل زمان قطع مدار و همچنین زمان نمونه برداری را ثبت می کند [۱]. از آنجا که موج فرستاده شده به مدار الکترونیک برای پردازش به صورت عدد در می آید (Digitize) در اینجا دو سؤال مطرح می باشد:

الف - چه فرکانسی برای برداشت اطلاعات مناسب است؟

۵). برای محاسبه همبستگی لازم بود علامت مخابره شده از دو سوزن پرور در دیسک سخت کامپیوترا نخیره شده و پردازش توسط یک برنامه کامپیوترا روی آنها انجام گیرد.

#### ۵-۲- اندازه‌گیری غلظت هوا

غلظت هوا با منطقی مشابه پرور تک سوزنی انجام می‌گرفت. البته در اینجا اطلاعات نخیره شده از سوزن جلویی در دیسک سخت کامپیوترا توسط یک برنامه کامپیوترا پردازش شده غلظت محاسبه می‌گردید.

#### ۵-۳- اندازه‌گیری قطر حباب‌ها

وقتی یک حباب به نوک پرور می‌رسد، سیم پرور داخل حباب فرورفت و مدار قطع می‌شود. مادامکه حباب در حال عبور است مدار قطع است و بنابراین هر زمان قطعی مدار نشان دهنده اندازه یک حباب می‌باشد. اگر سرعت حباب معلوم باشد، می‌توان با ضرب آن در زمان قطع مدار اندازه حباب را به دست آورد. البته از آنجا که سوزن پرور می‌تواند در هر کجای حباب به آن برخورد کند، قطر حباب را با توجه به زمان قطع مدار باید از رابطه زیر به دست آورد [۶]:

$$d_b = \sqrt{2} \cdot t \cdot U \quad (۱)$$

که ازمان هر قطع مدار و  $U$  سرعت حباب‌ها است. یک برنامه کار جستجو میان اطلاعات فرستاده شده از سوزن جلویی و محاسبه طیف حباب‌ها را براساس اندازه‌هایی که در برنامه مشخص شده بود انجام می‌داد.

#### ۵-۴- مدار الکتریکی و سیستم برداشت اطلاعات

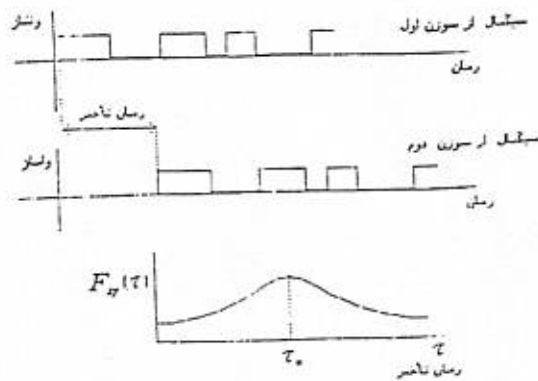
مدار الکتریکی این پرور مشابه پرور تک سوزنی است با این تفاوت که کلیه علامت فرستاده شده از هر دو سوزن باید به کامپیوترا فرستاده شده و در آنجا برای پردازش بعدی نخیره گردد. در این صورت با محدودیت حافظه (RAM) کامپیوترا روبرو خواهیم بود. مثلاً اگر از هر سوزن با فرکانس  $50 \text{ KHz}$  و به مدت  $20$  ثانیه اطلاعات برداشت شود، در هر اندازه‌گیری  $2 \text{ میلیون عدد}$  باید به کامپیوترا فرستاده شود که از حد حافظه آن خارج است. به همین دلیل شانسون (Chanson) [۸] از اندازه‌گیری خود با فرکانس  $10 \text{ KHz}$  و به مدت  $1/2$  ثانیه اطلاعات برداشت می‌کرد. زراتی و هاردویک (Zar-)

می‌شوند تا علامتی مشتمل برقطع و وصل مکرر مدار از سوزن پرور فرستاده شود. حال اگر یک سوزن کاملاً مشابه با سوزن اولی (با دو قطب الکتریکی که یکی سیم و سطح سوزن است و دیگری خود سوزن، مشابه آنچه قبل توضیح داده شد) در فاصله کمی پایین دست سوزن اولی قرار گیرد علامت فرستاده شده از آن باید مشابه سوزن اولی با یک نخیره زمانی  $\tau_0$  باشد (شکل ۵). این بدان دلیل است که سری حباب‌هایی که به سوزن اولی برخورد کرده اند با همان ترتیب پس از زمان کوتاهی به سوزن ۲ برخورد می‌کنند. حال اگر فاصله دو سر سیم سوزن‌ها را کم فرض کنیم:

$$U = \frac{\Delta s}{\tau_0} \quad (۱)$$

که  $U$  سرعت حباب‌ها می‌باشد.  
در عمل علامت مخابره شده از دو پرور کاملاً مشابه نخواهد بود. زیرا وجود سوزن جلویی باعث ایجاد اختلال در جریان و تاخذودی بهم خوردن وضعیت اولیه حباب‌ها می‌شود. ولی می‌توان با پرقراری همبستگی بین علامت (Cross - Correlation) محتمل ترین زمان تأخیر بین علامت را به دست آورد. همبستگی بین علامت به صورت زیر تعریف می‌شود:

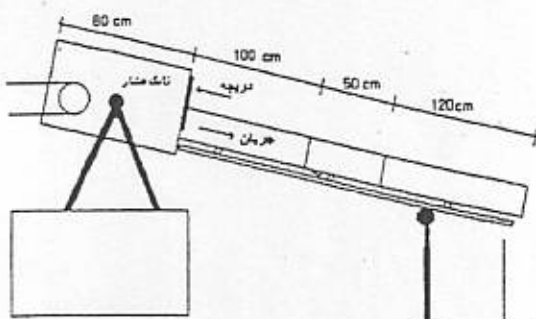
$$F_{xy}(\tau) = \lim_{t \rightarrow \infty} \int_0^t x(t-\tau) y(t) dt \quad (۲)$$



شکل (۵) همبستگی بین علامت مخابره شده از دو سوزن پرور

که در این روابط  $(t) x$  و  $(t) y$  علامت مخابره شده از دو سوزن پرور می‌باشند. حال اگر مقدار این همبستگی را در زمان‌های مختلف تأخیر  $(t)$  حساب کرده منحنی تغییرات آن را در مقابل  $t$  رسم کنیم، محتمل ترین زمان تأخیر مربوط به حداقل مقدار همبستگی می‌باشد (شکل

طریق آن به داخل فلوم تزریق می‌گردید. یک قطعه سنک آکواریم در زیر شیار کار گذاشته شده بود تا هوای تزریق شده به حباب‌های ریز تبدیل گردد. پس از شیار هواهی هوای تزریق شده با آب مخلوط شده یک چریان آب و هوا بوجود می‌آورد. هوا توسط یک کمپرسور باد که دارای شیر کنترل فشار بود با دبی ثابت به داخل چریان فرستاده می‌شد. قطعه نیم متری دیگری نیز ساخته شده بود که به تناسب آزمایش به جای قطعه بالا قرار می‌گرفت. این قطعه یک هواهه بود که چریان روی آن به صورت جت در آمده از طریق لوله‌هایی هواهه از زید و همچنین از سطح رویی هوا جذب می‌کرد و به این ترتیب یک جت هواهی شده ایجاد می‌گردید (شکل ۷). قطع سوم فلوم،  $1/2$  متر بود و فضای کافی برای مطالعه چریان آب و هوای ایجاد شده را فراهم می‌کرد.

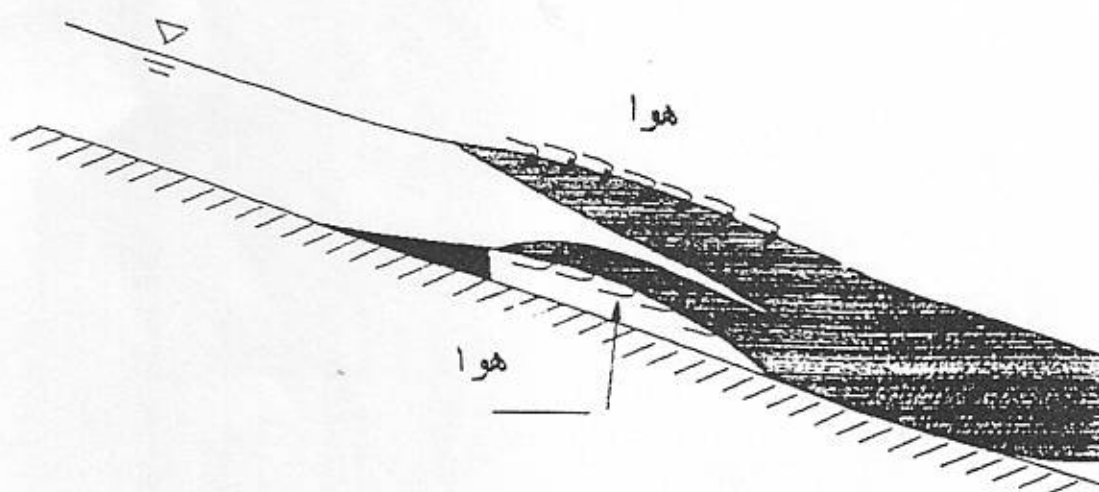


شکل (۶) فلوم و تانک فشار

[۵] rati and Hardwick) پروب دو سوزنی را توسعه داده توانستند با فرکانس  $26\text{KHz}$  و به مدت ۲۰ ثانیه از هر سوزن نمونه بردازی کنند. در مطالعات حاضر با ایجاد تکنیکی که همزمان اطلاعات فرستاده شده به کامپیوتر را روی دیسک سخت می‌فرستاد، این محدودیت برداشته شد و عملأً تا جایی که در یک سخت کنگایش داشت، برداشت اطلاعات مسیر گردید. (برای اطلاعات بیشتر به مرجع ۲ مراجعه کنید). به این ترتیب با رفع این محدودیت پروب طراحی شده می‌تواند در سرعت‌های بالاتر از  $10$  متر در ثانیه نیز به کار رود و با رفع محدودیت فرکانس و زمان این پروب دارای حساسیتی به مراتب بیشتر از پروب‌های مشابه قبلی می‌باشد.

#### ۶- شرح آزمایش‌ها بر روی پروب سوزنی

به منظور اطمینان از عملکرد و تعیین دقت پروب سوزنی آزمایش‌هایی روی آن انجام گردید. آزمایش‌ها در فلومی به عرض  $20$  سانتی متر و طول  $7/2$  متر با شیب حدود  $14^\circ$  انجام شد. در ابتدای این فلوم تانک فشاری قرار داشت و چریان از طریق دیوارهای هدایت از زید یک دریچه قابل تنظیم وارد فلوم می‌شد. فلوم از سه قسمت تشکیل شده بود (شکل ۶): در قسمت اول به طول یک متر آب آرام می‌شد. قسمت دوم به طول نیم متر دارای شیاری در کف به عرض  $5\text{mm}$  بود که هوا از



شکل (۷) اصول کار یک هواهه

## ۱-۶-وسایل اندازه‌گیری

مقدار دبی جریان به کمک یک سروریز لبه تیز مثلثی در پایین دست فلوم به دست می‌آمد و سرعت در نقاط مختلف عمق وقتی هوا در آب وجود نداشت، توسط لوله پیتو اندازه‌گیری می‌شد. برای اندازه‌گیری دبی هوا تزریق شده از یک روتامتر که در مسیر لوله‌های هوا از کمپرسور به شیار کف فلوم قرار داده شده بود استفاده می‌شد.

## ۲-آزمایش بر روی پروب تک سوزنی

برای اطمینان از عملکرد درست پروب تک سوزنی دو روش انتخاب شد.

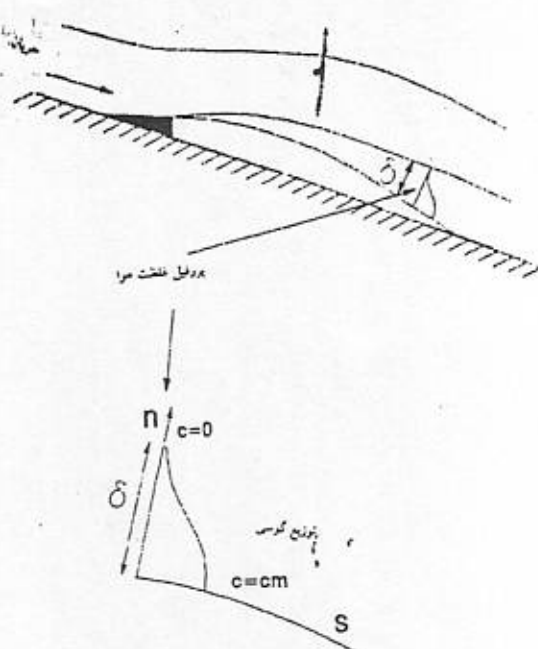
- الف - اندازه‌گیری پروفیل غلظت هوا بر روی جت هواده.
- ب - اندازه‌گیری دبی هوا موجود در آب و مقایسه آن با هوای تزریق شده.

در تمام آزمایش‌ها فرکانس نمونه برداری دستگاه روی ۱۰۰ KHz تنظیم شده بود. برای به دست آوردن زمان لازم نمونه برداری، در یک نقطه اقدام به برداشت اطلاعات با زمان‌های مختلف شد و این آزمایش در نقاط مختلف دیگر نیز تکرار گردید. مشاهده شد که مدت ۴۵ ثانیه برای گرفتن جوابی مستقل از زمان نمونه برداری کافی است. توجه شود که هیچیک از پروب‌های قبلی نمی‌توانند با چنین فرکانس و زمانی نمونه برداری کنند.

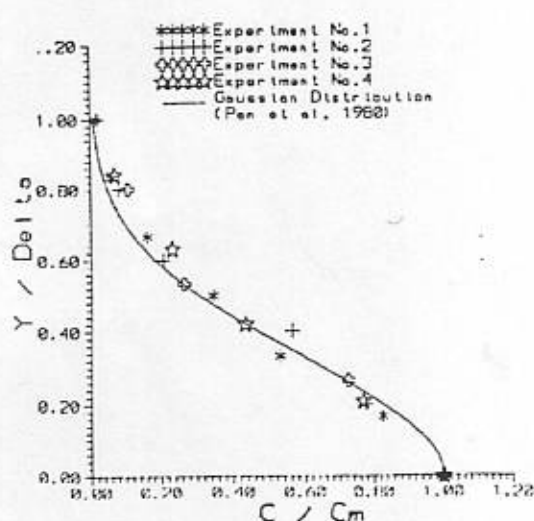
**۳-۱-اندازه‌گیری پروفیل غلظت هوا بر روی جت هواده**  
مطالعات انجام شده توسط محققین مختلف نشان داده است که توزیع غلظت هوا در لایه پایین و بالای یک جت وقتی این دو لایه به یکدیگر نرسیده باشند یکتابع گوسی است [۱۲، ۱۱، ۸] (شکل ۸). پن (PAN) و همکارانش [۱۱] براساس آزمایش‌هایی که انجام دارند، فرمول زیر را برای توزیع غلظت هوا داخل جت آب روی هواده‌ها پیشنهاد کردند.

$$C = C_{\text{me}} e^{-\frac{(z-z_0)^2}{4C_{\text{me}}^2}} \quad (4)$$

که در این رابطه  $C_{\text{me}}$  حداقل غلظت هوا و  $\delta$  ضخامت لایه آب و هوا می‌باشد. به کمک قطعه هواده، جت مورد نظر ایجاد و در دبی‌های مختلف پروفیل غلظت هوا در لایه پایینی جت در مقطع‌های مختلف آن اندازه‌گیری شد و بر روی توزیع غلظت که براساس فرمول بالا محاسبه شده بود رسم گردید (شکل ۹). توافق به دست آمده نشان دهنده صحت کار پروب تک سوزنی است.



شکل (۸) توزیع غلظت هوا در داخل جت آب



شکل (۹) مقایسه توزیع گوسی با اطلاعات به دست آمده از پروب سوزنی در آزمایش‌های کالibrاسیون

**۳-۲-۶-اندازه‌گیری دبی هوا موجود در آب و مقایسه آن با هوای تزریق شده**  
در این آزمایش‌ها قطعه ۵/۰ متری با شیار کافی و سنگ آکواریوم در داخل فلوم نصب گردید. در هر دبی، ابتدا به کمک یک لوله پیتو سرعت در نقاط مختلف عمق در مقطعی پایین دست شیار هواده بود دست می‌آمد. سپس هوا به داخل آب تزریق شده در نقاط مختلف عمق

به سوزن عقبی ذخیره می‌گردید. فرکانس نمونه برداری در کلیه آزمایش‌ها روی  $50 \text{ KHz}$  تنظیم شده و زمان نمونه برداری  $45$  ثانیه در نظر گرفته شد. پس از انجام آزمایش‌ها پردازش اطلاعات جمع‌آوری شده صورت می‌گرفت که حاصل آن سرعت در نقاط مختلف و معنین غلظت هوا و طیف حباب‌های عبوری بود. نمونه‌هایی از خروجی حاصل از پردازش اطلاعات در جدول شماره  $1$  آمده است. تجزیه و تحلیل نتایج هر مورد به طور جداگانه در بخش‌های زیر مورد بررسی قرار می‌گیرد.

### ۳-۱- نتایج اندازه‌گیری سرعت

نمونه‌ای از نتایج اندازه‌گیری سرعت توسط لوله پیتو و پروب دو سوزنی در جدول  $2$  و شکل  $10$  منعکس است. در هر دبی آب، اندازه‌گیری با پروب دو سوزنی در چند دبی هوا انجام شده است. نتایج نشان می‌دهند که پروب سوزنی روند افزایش سرعت از کف به طرف سطح آب را به درستی نشان داده و سرعت‌های اندازه‌گیری شده توسط آن به سرعت‌های اندازه‌گیری شده توسط لوله پیتو نزدیک می‌باشد.

در نقاط نزدیک کف فلوم، سرعت‌های اندازه‌گیری شده توسط پروب سوزنی کمی بالا می‌باشد. دلیل بالاتر بودن سرعت در این نقاط می‌تواند ایجاد یک مجرای تنگ بین بدنه پروب و کف فلوم وقتی پروب به کف نزدیک است و در نتیجه بالاتر رفتن سرعت حرکت حباب‌ها باشد. در هر صورت خطای اندازه‌گیری در بسیاری از نقاط کمتر از  $5$  درصد است.

### ۳-۲- نتایج اندازه‌گیری غلظت هوا

کنترل صحت نتایج به دست آمده از پروب دو سوزنی در مورد غلظت هوا به روشنی مشابه با پروب تک سوزنی انجام شد. این آزمایش‌ها، در  $2$  دبی مختلف آب و در هر دبی با تزریق مقادیر مختلف هوا انجام شد. نمونه‌ای از اندازه‌گیری‌های غلظت هوا در عمق‌های مختلف و در دبی‌های مختلف هوا در جدول  $2$  آمده است و مقایسه نتایج هوا اندازه‌گیری شده با کمک رابطه  $5$  و اندازه‌گیری روتامتر در جدول  $4$  منعکس است. همانکونه که از این نتایج مشخص است، پروب روند منطقی تغییرات غلظت هوا از کف به طرف سطح آزاد در حين عبور از مسیر حباب‌های تزریق شده را به خوبی نشان می‌دهد (شکل  $11$ ). خطای به دست آمده در دبی هوا نیز در  $4$  مورد از  $6$  مورد آزمایش کمتر از  $6$  درصد بوده

در آن مقطع غلظت هوا با بدوب سوزنی اندازه‌گیری می‌شد. دبی هوا موجود در آب را به این ترتیب می‌توان از رابطه زیر حساب کرد:

$$Q_{air} = \int_0^b b C U dy \quad (5)$$

که در این رابطه  $C$  غلظت هوا،  $U$  سرعت جریان،  $b$  عرض کanal و  $a$  عمق است. این آزمایش‌ها در چند دبی آب و هوا انجام شد و نتایج به دست آمده با دبی هوا تزریق شده که با روتامتر اندازه‌گرفته می‌شد، مقایسه گردید. نتایج نشان دادند که خطای دستگاه بین  $5$  تا  $10$  درصد می‌باشد علت خطا در اندازه‌گیری را به جز خود دستگاه می‌توان مربوط به عوامل زیر دانست:

۱- قرار نگرفتن سر پروب در نقطه دلخواه. عمق آب در این آزمایش‌ها بین  $2$  تا  $2$  سانتی متر بود و برداشت اطلاعات در فاصله‌های یک میلیمتری انجام می‌شد. تنظیم نوک پروب در نقطه مورد نظر تقام با خطای بود که این خطای به معنی اندازه‌گیری غلظت در اندازه بالاتر و یا پایین تراز نقطه مورد نظر می‌باشد.

۲- نوسانات سطح آب. این نوسانات از بالا دست ایجاد می‌شد و با توجه به عمق کم آب با وجود زمان زیاد نمونه برداری خطایی در اندازه‌گیری‌ها بوجود می‌آورد. کم کردن این نوسانات به تانک فشار بزرگتری نیاز داشت.

۳- به علت قطر  $8$  میلیمتری بدنه، سر پروب را نمی‌توان از  $4$  میلیمتر به کف نزدیکتر کرد و در نزدیکی سطح آب نیز مقداری هوا از اتمسفر داخل آب می‌شد و غلظت‌های بالای هوا را بوجود می‌آورد. در این دو منطقه میزان هوا را می‌باشد با توجه به غلظت‌های اندازه‌گیری شده در نقاط نزدیک با قبول مقداری خطای تخمین زد.

### ۳-۳- آزمایش بر روی پروب دو سوزنی

آزمایش‌های ایجاد فلوم شرح داده شده در بخش قبل انجام گردید. پس از تنظیم دبی جریان، در هر آزمایش سرعت در مقطعی در پایین دست شیار هوادهی، توسط لوله پیتو در عمق‌های مختلف اندازه‌گیری می‌شد. سپس کمپرسور هوا روشن شده و هوا به داخل جریان تزریق می‌گردید آنکه بدوب دو سوزنی روی مقطع اندازه‌گیری شده توسط لوله پیتو نصب و در فواصل یک میلیمتری از نزدیک کتف تا سطح آب اطلاعات برداشت می‌شد. اطلاعات در دو فایل جداگانه یکی مربوط به سوزن جلویی و یکی مربوط

برای اندازه‌گیری مشخصه‌های جریان جریان‌های کاز مایع تشریح شده است. این پروب مثل یک سوپنچ الکتریکی عمل کرده و وجود مایع (مثل آب) با هدایت الکتریکی زیادتر از کاز (مثل هوا) را تشخیص می‌دهد. طراحی و کالیبراسیون دو نوع از این پروب با مشخصات زیر برای جریان آب و هوا با سرعت زیاد در اینجا انجام شده است: (الف) یک پروب تک سوزنی که فقط غلظت هوا را اندازه‌گیری می‌کند و نتیجه را بلاغاً صله پس از آزمایش به کامپیوتر می‌فرستد. (ب) یک پروب دو سوزنی که علاوه بر غلظت هوا، سرعت حباب‌ها و طیف آنها را نیز اندازه‌گیری می‌کند ولی لازم است پس از انجام آزمایش روی اعداد فرستاده شده به کامپیوتر برای به دست آوردن نتیجه پردازش صورت بکشد. امتیاز پروب سوزنی ساخته شده، نسبت به پروب‌های مشابه قبلی عبارت است از:

۱ - سرعت بالای پرداشت اطلاعات (100 KHz).

۲ - نداشتن محدودیت در زمان پرداشت اطلاعات

۳ - ابعاد بسیار کوچک که آن را قادر می‌سازد تا حباب‌های تا حد یک میلیمتری را نیز ثبت کند. که در نتیجه دقت و حساسیت این پروب را نسبت به پروب‌های قبلی به مقدار زیادی افزایش می‌دهد.

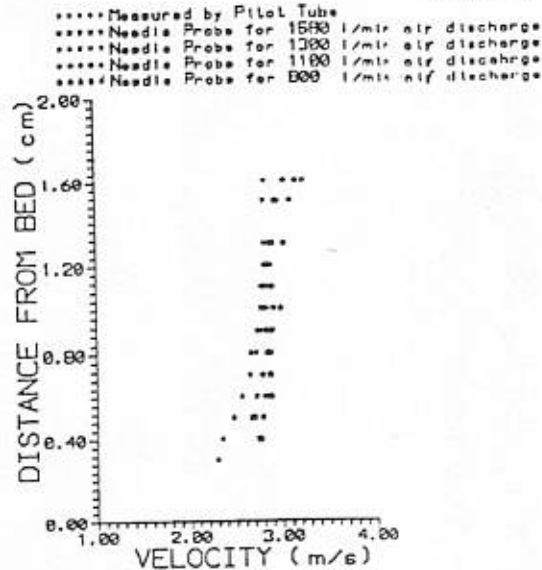
نتایج آزمایش‌های کالیبراسیون نشان داد که پروب سوزنی توانسته است با دقت خوبی غلظت هوا و سرعت و طیف حباب‌ها را اندازه‌گیرد. برای تعیین دقیق درصد خطأ و عملکرد این پروب لازم است کالیبراسیون آن با تجهیزات کامل تری در رنج وسیعتری از سرعت جریان و غلظت هوا انجام گیرد.

### قدرتانی

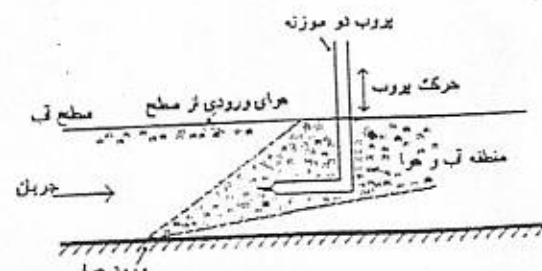
در اینجا لازم است از آقای دکتر محمد موحدی و آقای دکتر احمد کاردان به دلیل کمک‌های فنی زیادی که در زمینه طرح مدار و برنامه‌های کامپیوتری نمودند، صمیمانه سپاکزاری کنیم. همچنین از معاونت پژوهشی دانشکاه صنعتی امیرکبیر که با حمایت‌های همه جانبه انجام این پروژه تحقیقاتی را ممکن ساخت، قدردانی می‌کنیم.

انجام آزمایش‌های این پروژه بدون همکاری‌های فراوان مرکز تحقیقات آب وزارت نیرو چه از نظر ساخت وسایل مختلف و چه از لحاظ در اختیار قرار دادن فضای آزمایشکافی ممکن نبود که بدینوسیله از آن قدردانی و تشرک می‌شود.

است. در مورد علل وجود خطأ در بخش ۵-۲-۲ بحث شده است.



شکل (۱۰) مقایسه نتایج اندازه‌گیری سرعت توسط لوله بینتو و پروب دو سوزنی.



شکل (۱۱) نحوه انجام آزمایش در مخلوط آب و هوا.

### ۶-۳-۳- اندازه‌گیری طیف حباب‌های عبوری

طیف حباب‌های عبوری در این آزمایش‌ها در سه غلظت کم، متوسط، زیاد در جدول ۱ ارائه شده است. همانگونه که از این داده‌ها مشخص است تعداد حباب‌ها و نوع اندازه آنها تطابق خوبی با غلظت خوبی با اغلب این آزمایش‌ها نیز قابل اطمینان شده دارد.

از آنجا که غلظت هوا و سرعت جریان توسط پروب با دقت خوبی اندازه‌گیری شده می‌توان اظهار داشت که نتایج اندازه‌گیری طیف حباب‌ها نیز قابل اطمینان می‌باشد.

### ۷- خلاصه و نتیجه‌گیری

در این مقاله طرز کار و طراحی یک پروب سوزنی

جدول (1) نمونه هایی از طریق حاصل از بردازش اطلاعات در سه غلظت متفاوت دارد

1-  
 SAMPLING FREQUENCY = 50.000000 IN KHz  
 TIME OF SAMPLING = 45.000000 IN SECONDS  
 DISTANCE BETWEEN PROBES = 12.000000 IN mm  
 HERE ARE THE CLUSTERS FOR BUBLES DIAMETER IN mm  
 1 2 3 4 5 6 7 8 9 10;  
 %0.479667 AIR WAS MIXED IN WATER  
 SPEED IS 2.912621 m/s

TOTAL NUMBER OF BUBLES IS 157		
diameter range in mm	number of bubbles	percent from total
0.00 - 1.00	7	4.45860
1.00 - 2.00	11	7.00637
2.00 - 3.00	14	8.91720
3.00 - 4.00	24	15.28662
4.00 - 5.00	12	7.64331
5.00 - 6.00	18	11.46497
6.00 - 7.00	16	10.19108
7.00 - 8.00	25	15.92357
8.00 - 9.00	9	5.73248
9.00 - 10.00	9	5.73248
10.00 or more	12	7.64331

2-  
 SAMPLING FREQUENCY = 50.000000 IN KHz  
 TIME OF SAMPLING = 45.000000 IN SECONDS  
 DISTANCE BETWEEN PROBES = 12.000000 IN mm  
 HERE ARE THE CLUSTERS FOR BUBLES DIAMETER IN mm  
 1 2 3 4 5 6 7 8 9 10;  
 %8.203244 AIR WAS MIXED IN WATER  
 SPEED IS 2.955665 m/s

TOTAL NUMBER OF BUBLES IS 2511		
diameter range in mm	number of bubbles	percent from total
0.00 - 1.00	156	6.21266
1.00 - 2.00	197	7.84548
2.00 - 3.00	222	8.84110
3.00 - 4.00	259	10.3142
4.00 - 5.00	246	9.79689
5.00 - 6.00	255	10.15532
6.00 - 7.00	200	7.95495
7.00 - 8.00	205	8.16408
8.00 - 9.00	205	8.16408
9.00 - 10.00	155	6.17284
10.00 or more	411	16.33798

3-  
 SAMPLING FREQUENCY = 50.000000 IN KHz  
 TIME OF SAMPLING = 45.000000 IN SECONDS  
 DISTANCE BETWEEN PROBES = 12.000000 IN mm  
 HERE ARE THE CLUSTERS FOR BUBLES DIAMETER IN mm  
 1 2 3 4 5 6 7 8 9 10;  
 %13.569333 AIR WAS MIXED IN WATER  
 SPEED IS 2.870813 m/s

TOTAL NUMBER OF BUBLES IS 3423		
diameter range in mm	number of bubbles	percent from total
0.00 - 1.00	139	4.06077
1.00 - 2.00	186	5.43383
2.00 - 3.00	233	6.82659
3.00 - 4.00	258	7.53725
4.00 - 5.00	303	8.82183
5.00 - 6.00	292	8.53053
6.00 - 7.00	339	9.90359
7.00 - 8.00	307	8.96574
8.00 - 9.00	294	8.58396
9.00 - 10.00	262	7.65410
10.00 or more	810	23.66345

جدول (۳) اندازه گیری سرعت در دبی اول آب - عمق تقریباً ۲ cm

		نتایج اندازه گیری سرعت توسط پروب سوزنی m/s				
cm به از کف	m/s	نتایج پیش	$Q_{air1580}$ l/min	$Q_{air1200}$ l/min	$Q_{air1100}$ l/min	$Q_{air800}$ l/min
۰/۱	-	-	-	-	-	-
۰/۲	۲/۲۷	-	-	-	-	-
۰/۳	۲/۲۹	-	-	-	-	-
۰/۴	۲/۲۵	۲/۷۴	۲/۷۰	۲/۷۶	۲/۷۶	
۰/۵	۲/۴۷	۲/۶۹	۲/۶۹	۲/۷۹	۲/۶۷	
۰/۶	۲/۵۶	۲/۸۷	۲/۷۲	۲/۸۱	۲/۸۸	
۰/۷	۲/۶۵	۲/۸۷	۲/۸۷	۲/۷۹	۲/۸۷	
۰/۸	۲/۶۶	۲/۸۷	۲/۷۲	۲/۸۴	۲/۸۶	
۰/۹	۲/۷۳	۲/۹	۲/۷۶	۲/۸۳	۲/۸۸	
۱	۲/۸	۲/۹۱	۲/۷۸	۲/۸۳	۲/۹۹	
۱/۱	۲/۸۳	۲/۸۷	۲/۸	۲/۷۹	۲/۹	
۱/۲	۲/۸۴	۲/۸۸	۲/۸۲	۲/۸۲	۲/۸۶	
۱/۳	۲/۸۷	۲/۹۱	۲/۸۲	۲/۰۳	۲/۹	
۱/۴	۲/۸۷	۲/۹۱	۲/۸۲	۲/۹۴	۲/۸۸	
۱/۵	-	۲/۱	۲/۸۲	۲/۹۴	۲/۹۹	
۱/۶	-	۲/۲۴	۲/۸۳	۲/۰۴	۲/۱۶	

جدول (۳) غلظت هوای اندازه گیری شده در دبی اول آب (درصد)

فاصله از کف به cm	دبی هوا به لیتر در ساعت			
	۱۶۰۰	۱۳۲۰	۱۱۰۰	۸۰۰
۰/۱	-	-	-	-
۰/۲	(۳)	(۰/۴)	(۱)	(۱)
۰/۳	(۴)	(۰/۸)	(۱/۵)	(۲)
۰/۴	۵/۰۸	۴/۹۹	۲/۷۹	۳/۱
۰/۵	۸/۲	۵/۶۲	۸/۴۵	۱/۲۲
۰/۶	۸/۷۶	۵/۰۹	۹/۷۲	۵/۶۴
۰/۷	۱۲/۵۷	۹/۷۳	۱۰/۱۵	۷/۲۸
۰/۸	۱۲/۵۳	۵/۱۱	۷/۳	۷/۲۹
۰/۹	۱۰/۲۸	۱۲/۸۱	۲/۶۵	۳/۸۸
۱	۸/۷	۱۲/۳	۰/۸۶	۴/۰۷
۱/۱	۳/۵۲	۱۰/۸۲	۱/۲۶	۱/۹۹
۱/۲	۱/۹۸	۸/۴	۱/۹۲	۱/۰۸
۱/۳	۰/۵۸	۵/۷۱	۰/۱۸	۰/۴۶
۱/۴	۰/۳	۰/۸۸	۰/۱۱	۰/۱۹
۱/۵	۳/۵۲(۰/۲)	۰/۴۱	۰/۲۲(۰/۱)	۰/۲۷(۰/۱)
۱/۶	۲/۰۹(۰/۲)	۰/۶۸(۰/۳)	۲/۹(۰/۱)	۱/۳۱(۰/۱)
۱/۷	۱۱/۲۱(۰/۱)	۲/۲۸(۰/۳)	۱۶/۶(۰/۱)	۹/۶۲(۰/۱)
۱/۸	۵۴/۹۴(۰/۱)	۱/۱۲(۰/۲)	۴۸/۲(۰/۱)	۲۴/۵۹(۰/۱)
۱/۹	۷۷/۵۸(۰/۱)	۱۰/۰۲(۰/۲)	۷۷/۰۲(۰/۱)	۵۵/۱۹(۰/۱)
۲	۹۳/۶۹	۲۶/۲۵(۰/۱)	۹۰/۶۶	۷۹/۹(۰/۱)
۲/۱	-	۶۸/۴۵(۰/۱)	-	-

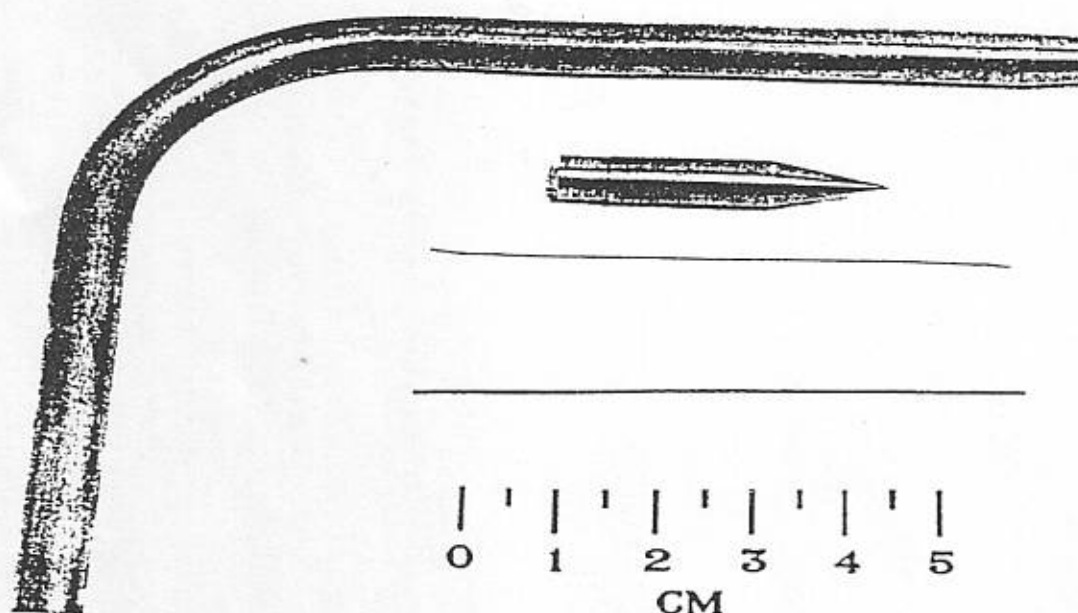
جدول (۲)

مقایسه نتایج اندازه گیری دلتی هوا در دبی اول آب

شماره آزمایش	هوای حساب شده روتامتر lit/h	هوای اندازه گیری شده توسط رابطه lit/h ۸	درصد خطا
۱	۱۶۰۰ ± ۱۰	۱۵۳۰	-۴
۲	۱۳۲۰ ± ۱۰	۱۵۲۰	+۱۵
۳	۱۱۰۰ ± ۱۰	۹۲۰	-۱۶
۴	۸۰۰ ± ۱۰	۷۵۴/۵	-۵/۶

مقایسه نتایج اندازه گیری دلتی هوا در دبی دوم آب

شماره آزمایش	هوای اندازه گیری شده روتامتر lit/h	هوای اندازه گیری شده توسط رابطه lit/h	درصد خطا
۵	۱۲۰۰ ± ۱۰	۱۳۰۶/۵	+۰/۵
۶	۱۱۰۰ ± ۱۰	۱۱۲۲/۵	+۳



عکس (۱) ساختن این بروب سوزنی

۹۳

امیرکبیر / سال دهم / شماره ۳۷

## مراجع

- [6] Neal, A. and Benkoff, S.A., (1963), "A High Resolution Resistivity Probe for Determination of Local Void Properties in Gas Liquid Flow", J. of A.I.Ch.E., pp. 490-494.
- [7] Nassos, G.P., and Benkoff, S.G., (1967), "Local Sensitivity Probe for Study Point Properties of Gas-Liquid Flows", Cand. Jour. of chem. Eng., Vol 45, Oct., pp 271-274.
- [8] Chanson, H., (1988), A Model Study of Aerator Performance, Ph.D. Thesis Submitted to the University of Canterbury, New Zealand.
- [9] Cain, P. and Wood, I.R., (1981), "Instrumentation for Aerated flow on Spillways", ASCE, Vol. 107, HY11, pp. 1407-1424.
- [10] Iida, Y., (1972), "Study of Local Void Fraction", J Atm. Energy, Japan, 14, pp 337-339.
- [11] Pan, S.B., Y.Y. Shi, Q.S. and Dong, S.L., (1980), "The Self-Aeration Capacity of the Water Jet over the Aeration Ramp", J of Hydr. Eng., Beijing, No. 5, pp. 13-232, (in Chinese).
- [12] Ervine, D.A. and Falvey, H.T., (1987), "Behaviour of Turbulent Water Jets in the Atmosphere and in the Plunge Pool", Proc. ICE, Part 2, 83, pp. 295-314.
- [1] امیررضا زراتی، محمودرضا شاهوردی و آرش سمواتی، طراحی یک پروب سوزنی برای اندازه‌گیری مشخصه‌های جریان در چریان‌های دوفاز، کارشناسی پژوهه مستقل تحقیقاتی، دانشگاه صنعتی امیرکبیر، معاونت پژوهشی، آبان ۱۳۷۴.
- [2] امیررضا زراتی، محمودرضا شاهوردی و آرش سمواتی، طراحی و ساخت یک پروب دو سوزنی برای اندازه‌گیری سرعت جریان در چریان‌های دو فاز، کارشناسی پژوهه مستقل تحقیقاتی، دانشگاه صنعتی امیرکبیر، معاونت پژوهشی، مهر ۱۳۷۵.
- [3] Herringe, R.A. and Davis, M.R., (1974), "Detection of Instantaneous Phase change in Gas-Liquid Mixtures", Journal of Physics E" Scientific Instruments, Vol. 7, pp. 807-812.
- [4] Serizawa, A., Kataoka, I. and Michiyoshi, I., (1975), "Turbulence Structure of Air-Water Bubbly Flow - I Measuring Techniques", Int. J. of Multiphase Flow, Vol. 2, pp. 221-233.
- [5] Zarrati, A. R., and Hardwick, J. D., (1994), "Application of a Needle Probe for Measurement of Local Parameters in Air-water Flows", ASCE Symp. on Advan. in Measurement Tech. and Instrumentation.